



## บทที่ 4

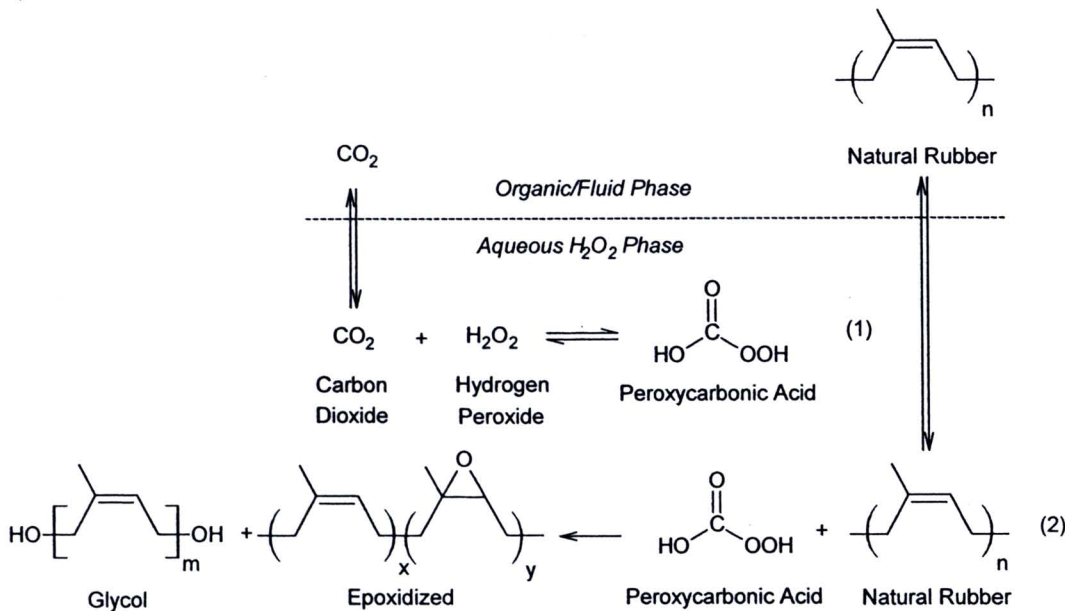
### ผลการทดลองและวิจารณ์ผลการทดลอง

ปฏิกริยาการสลายโมเลกุลของยางธรรมชาติเชิงเคมี (Chemical degradation) เพื่อเตรียมเป็นยางธรรมชาติเหลวที่มีหมู่ไฮดรอกซิลตัวแทนง่าย (HTNR) สำหรับเตรียมพอลียูรีเทนอิเลสโตร-เมอร์ สำหรับในงานวิจัยนี้สามารถเตรียมได้จากสองขั้นตอนด้วยกัน โดยในขั้นตอนแรกเป็นการสลายโมเลกุลของยางธรรมชาติด้วยการทำปฏิกริยาออกซิเดชันกับ  $H_2O_2$  ภายใต้สภาวะcarbон dioxide - ออกไซด์หนึ่งอิกตุต ( $scCO_2$ ) และในขั้นต่อมาเป็นการสลายโมเลกุลของยางธรรมชาติภายใต้ระบบตัวทำละลายอินทรีย์ได้เป็นยางธรรมชาติเหลวที่มีหมู่ไฮดรอกซิลที่ว่องไวที่มีความเหมาะสมสำหรับใช้ในการเตรียมพอลียูรีเทน นอกจากนี้ในงานวิจัยยังได้ศึกษาการเตรียมพอลียูรีเทนอิเลสโตร-เมอร์ จาก HTNR ที่เตรียมได้อีกด้วย

#### ตอนที่ 1 การศึกษาการสลายโมเลกุลของยางธรรมชาติด้วย $H_2O_2$ ภายใต้สภาวะ $scCO_2$

##### 4.1 การศึกษาขั้นตอนการถ่ายเทมวลในระบบสองวัฎจักร

เนื่องจากปฏิกริยาออกซิเดชันของยางธรรมชาติด้วย  $H_2O_2$  ภายใต้สภาวะ  $scCO_2$  เกิดขึ้นในระบบสองวัฎจักร (Two phase system) ซึ่งประกอบด้วยวัฎจักรของ  $scCO_2/toluene/NR$  และ  $H_2O_2/H_2O$  ระบบนี้เกิดปฏิกริยา *in situ* ระหว่าง  $scCO_2$  และ  $H_2O_2$  เกิดเป็นกรดเปอร์ออกซิคาร์บอนิก (peroxycarbonic acid) เข้าทำปฏิกริยากับยางธรรมชาติตรงตัวแทนพันธะคู่ ทำให้น้ำหนักโมเลกุลของยางธรรมชาติลดลง และได้ผลิตภัณฑ์เป็นสารประกอบอิพอกไซด์และไกลคอล แสดงดังรูปที่ 4.1 ทั้งนี้เป็นไปได้ว่าปฏิกริยาดังกล่าวถูกขับยังด้วยปราการส่งผ่านระหว่างองค์ประกอบที่ว่องไวในระบบสองวัฎจักรคือ ยางธรรมชาติและกรดเปอร์ออกซิคาร์บอนิก ซึ่งจากงานวิจัยของ Shane และคณะ [24] พบร่วมกับการถ่ายเทมวลของ  $scCO_2$  ไปยังวัฎจักร  $H_2O_2 / H_2O$  มีความรวดเร็วเป็นอย่างมากเมื่อปั่นกวัตุนิยมด้วยความเร็วรอบมากกว่า 260 rpm ซึ่งสอดคล้องกับงานวิจัยนี้ที่มีการปั่นกวัตุนิยมที่ความเร็วรอบเท่ากับ 750 rpm ด้วยเหตุนี้ทำให้มีขั้นตอนการถ่ายเทมวลของ  $scCO_2$  แต่การถ่ายเทมวลของยางธรรมชาติไปยังบริเวณผิวสัมผัสของปฏิกริยา (Reaction interface) หรือวัฏจักรที่มีน้ำ (Aqueous phase) จะเป็นตัวลิมิต และที่สำคัญค่าการละลายของกรดเปอร์ออกซิคาร์บอนิก ซึ่งเป็นโมเลกุลที่มีน้ำไปยังโมเลกุลไม่มีน้ำของระบบ  $scCO_2/Toluene/NR$  นั้นมีค่าน้อยมาก ดังนั้นปฏิกริยาออกซิเดชันของยางธรรมชาติจะเกิดขึ้นบริเวณผิวสัมผัสระหว่างวัฏจักรหรือในวัฏจักรที่มีน้ำเท่านั้น จึงส่งผลให้ปฏิกริยาการออกซิเดชันในระบบของงานวิจัยนี้ เกิดเป็นหมุนฟังก์ชันว่องไวในปริมาณที่น้อยซึ่งหมุนฟังก์ชันที่เกิดขึ้นจะอธิบายในหัวข้อถัดไป



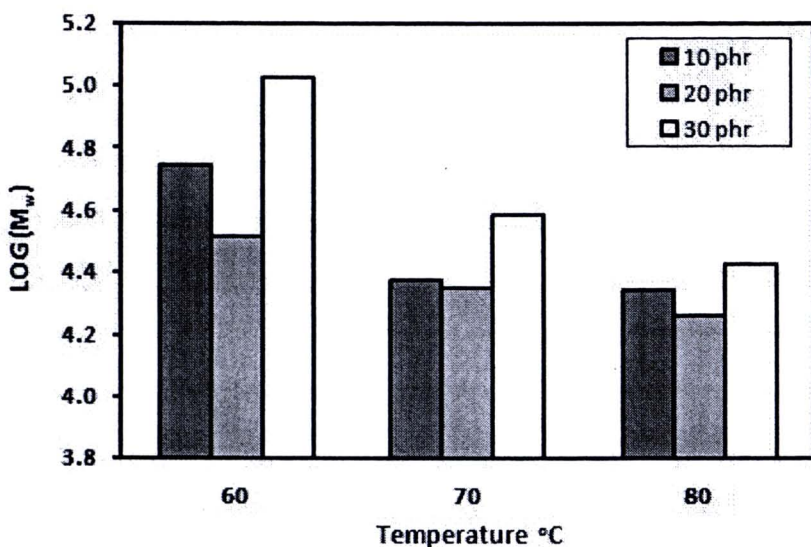
รูปที่ 4.1 ปฏิกิริยาอิพอกซิเดชันในระบบสองวัյภากคือ  $\text{H}_2\text{O}_2/\text{H}_2\text{O} - \text{scCO}_2/\text{Toluene}/\text{NR}$

## 4.2 ผลของการศึกษาน้ำหนักโมเลกุลเฉลี่ยของยางธรรมชาติด้วยเครื่อง GPC

### 4.2.1 ผลของการเพิ่มปริมาณ $\text{H}_2\text{O}_2$ ต่อการลดน้ำหนักโมเลกุลของยางธรรมชาติ

จากการศึกษาผลของปริมาณไสโตรเจนเปอร์ออกไซด์ปริมาณ 10, 20 และ 30 phr ต่อการเกิดปฏิกิริยาอิพอกซิเดชันกับยางธรรมชาติในสารละลายโทลูอินที่มีความเข้มข้นร้อยละ 0.02% w/v ซึ่งปฏิกิริยากระทำภายในตัวสภาวะของ  $\text{scCO}_2$  ควบคุมความดันของ  $\text{CO}_2$  คงที่ 120 bar ควบคุมอุณหภูมิ 60, 70 และ 80 °C ระยะเวลาสำหรับการทำปฏิกิริยา 5 ชั่วโมง พนว่าเมื่อปริมาณของสารอิพอกซิเดช์คือ  $\text{H}_2\text{O}_2$  เพิ่มขึ้น จาก 10 เป็น 20 phr ส่งผลให้น้ำหนักโมเลกุลเฉลี่ยมีแนวโน้มลดลงจากยางธรรมชาติเริ่มต้น ทั้งนี้อาจเนื่องมาจากการเพิ่มปริมาณของสารอิพอกซิเดช์ [11, 23] จึงส่งผลให้น้ำหนักโมเลกุลเฉลี่ยของยางธรรมชาติมีค่าลดลง ดังรูปที่ 4.2 นอกจากนี้อาจเนื่องมาจากปฏิกิริยาระหว่าง  $\text{scCO}_2$  และ  $\text{H}_2\text{O}_2$  เกิดเป็นกรดเปอร์-ออกซิคาร์บอนิกดังรูปที่ 4.1 (สมการที่ 1) แล้วจากนั้นกรดเปอร์-ออกซิคาร์บอนิกซึ่งเป็นตัวออกซิไดซ์ [24] เข้าทำปฏิกิริยากับยางธรรมชาติตรงพันธะคู่ส่งผลให้ยางธรรมชาติมีน้ำหนักโมเลกุลลดลง แต่อย่างไรก็ตามเมื่อเพิ่มปริมาณของ  $\text{H}_2\text{O}_2$  เป็น 30 phr กลับสามารถลดน้ำหนักโมเลกุลได้น้อยกว่าที่ 10 และ 20 phr อาจเนื่องจากเมื่อระบบมีปริมาณของ  $\text{H}_2\text{O}_2$  มากเกินไปซึ่งจะเป็นเหตุให้เกิดอนุญาลิกระบวนการสายโซ่โมเลกุลจากปฏิกิริยาอิพอกซิเดชัน จึงส่งผลให้ยางธรรมชาติกลับมาร่วมตัวกันได้ใหม่ [7] เพราะฉะนั้นจึงพบว่าการทำปฏิกิริยาของ  $\text{H}_2\text{O}_2$  ปริมาณ 20 phr ที่ระยะเวลา 5 ชั่วโมง และอุณหภูมิต่างๆ นั้นส่งผลให้มีน้ำหนักโมเลกุลเฉลี่ยลดลงเหลือน้อยกว่าที่ 10 และ 30 phr ดังนั้นเพื่อควบคุมน้ำหนักโมเลกุลเฉลี่ยของยางธรรมชาติ ให้เกิดการทำปฏิกิริยา

เป็นไปอย่างมีประสิทธิภาพ สำหรับงานวิจัยนี้ ปริมาณที่เหมาะสมในการทำปฏิกิริยาของ  $\text{H}_2\text{O}_2$  ควรน้อยกว่า 30 phr



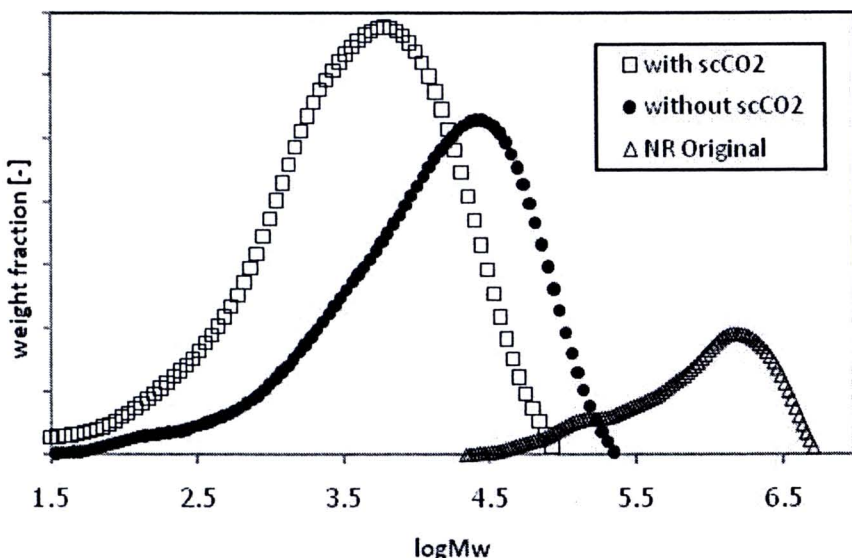
รูปที่ 4.2 ผลของปริมาณไฮโดรเจนเปอร์ออกไซด์และอุณหภูมิต่อการลดลงของน้ำหนักโมเลกุลของยางธรรมชาติที่เวลา 5 ชั่วโมงภายใต้สภาวะ  $\text{scCO}_2$

#### 4.2.2 ผลของอุณหภูมิต่อการลดน้ำหนักโมเลกุลของยางธรรมชาติ

จากการทดลองปรับเปลี่ยนอุณหภูมิในกระบวนการออกซิเดชันเป็น 60, 70 และ 80 °C ได้ผลดังแสดงในรูปที่ 4.2 ซึ่งพบว่าน้ำหนักโมเลกุลเฉลี่ยมีแนวโน้มที่ลดลงเมื่ออุณหภูมิของปฏิกิริยามีค่าเพิ่มมากขึ้น ด้วยเหตุที่เมื่ออุณหภูมิสูงขึ้นส่งผลทำให้โมเลกุลของ  $\text{H}_2\text{O}_2$  สามารถเหนี่ยวแน่นให้เกิดเครือคอลลิสระบบสายโซ่โมเลกุลของยางธรรมชาติได้มาก ในขณะเดียวกันอัตราการถลายตัวของ  $\text{H}_2\text{O}_2$  ที่อุณหภูมิ 60 - 80 °C นั้นเป็นไปดังสมการ  $\text{H}_2\text{O}_2(\text{aq}) \rightarrow \text{H}_2\text{O}(\text{l}) + 1/2 \text{ O}_2 (\text{g})$  ซึ่งการถลายตัวดังกล่าวนั้นทำให้เกิดเป็นโมเลกุลของแก๊สออกซิเจน [10] เข้าทำปฏิกิริยากับเครือคอลลิสระบบได้มากขึ้น นอกจากนี้การเพิ่มอุณหภูมิยังส่งผลให้อัตราการแพร่ของ  $\text{scCO}_2$  เข้าไปในวัสดุภาคของสารละลายยางธรรมชาติ ( $\text{scCO}_2/\text{Toluene/NR}$ ) และวัสดุภาคของสารละลายไฮโดรเจนเปอร์ออกไซด์ ( $\text{H}_2\text{O}_2/\text{H}_2\text{O}$ ) มีค่ามากขึ้น ทำให้มีโมเลกุลของการรับอนไดออกไซด์เข้าทำปฏิกิริยากับโมเลกุลของ  $\text{H}_2\text{O}_2$  เกิดเป็นกรดเปอร์ออกซีคาร์บอนิก และเข้าทำปฏิกิริยากับยางธรรมชาติเกิดได้มาก เป็นเหตุให้ปฏิกิริยาถลายน้ำหนักโมเลกุลของยางธรรมชาติเกิดได้มากขึ้นตาม ซึ่งจากการทดลองจะเห็นได้อย่างชัดเจนว่า ที่อุณหภูมิ 80 °C จะปรากฏการลดลงของน้ำหนักโมเลกุลเฉลี่ยเหลืออน้อยที่สุด โดยมีค่าอยู่ที่  $\bar{M}_w = 1.05 \times 10^4 \text{ g.mol}^{-1}$

#### 4.2.3 ผลของการบอนไคออกไซด์หนีอิกกุต ( $\text{scCO}_2$ ) ต่อการลดน้ำหนักโมเลกุลของยางธรรมชาติ (NR)

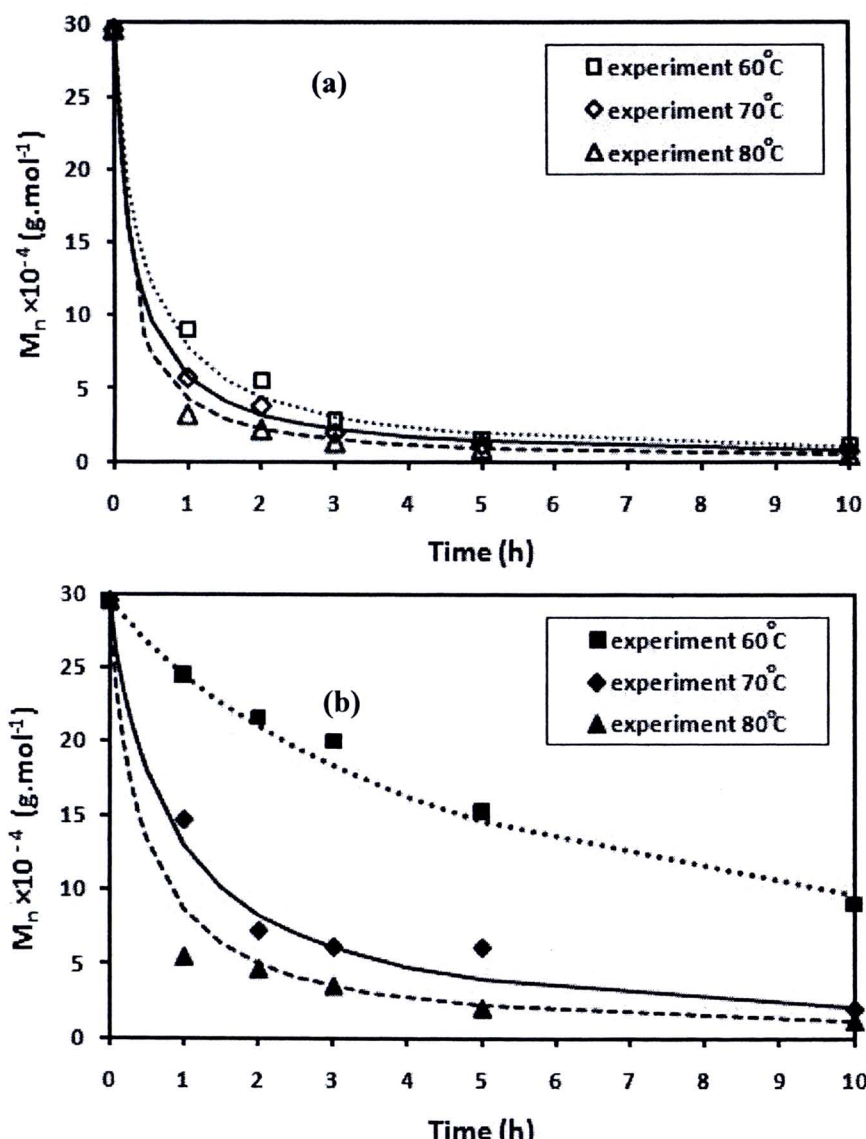
จากผลของ GPC โครโนโทแกรมแสดงการกระจายน้ำหนักโมเลกุลของยางธรรมชาติเริ่มต้น และผ่านการออกซิเดชันด้วย  $\text{H}_2\text{O}_2$  ปริมาณ 20 phr อุณหภูมิ  $80^\circ\text{C}$  ในสภาวะมี  $\text{scCO}_2$  และไม่มี  $\text{scCO}_2$  เป็นเวลา 10 ชั่วโมงแสดงดังรูปที่ 4.3 พบว่ายางธรรมชาติที่ผ่านการออกซิเดชันในสภาวะมี  $\text{scCO}_2$  นั้นมีโครโนโทแกรมที่เคลื่อนไปทางซ้ายซึ่งบ่งชี้ถึงการมีน้ำหนักโมเลกุลเฉลี่ยโดยน้ำหนัก ( $\bar{M}_w$ ) เท่ากับ  $1.05 \times 10^4 \text{ g.mol}^{-1}$  ซึ่งน้อยกว่ากราฟที่ไม่มี  $\text{scCO}_2$  ที่มี  $\bar{M}_w$  เท่ากับ  $3.58 \times 10^4 \text{ g.mol}^{-1}$  นอกจากนี้กราฟมี  $\text{scCO}_2$  ยังแสดงพิกของโครโนโทแกรมที่แคบซึ่งแสดงถึงค่าการกระจายแบบผสม (PDI) ที่ต่ำคือ 2.12 ซึ่งต่ำกว่ากราฟที่ไม่มี  $\text{scCO}_2$  ที่มี PDI เท่ากับ 2.95 ทั้งนี้จากความสัมพันธ์ดังกล่าวเป็นเหตุจากสมบัติการแพร่และการละลายที่ดีของ  $\text{scCO}_2$  เข้าไปในโมเลกุลของยางธรรมชาติ [8, 9] อาจกล่าวได้ว่าเมื่อ  $\text{scCO}_2$  ละลายเข้าไปในสารละลายยางธรรมชาติ (Toluene/NR) และสามารถซึมผ่านเข้าไปในโพลิเมอร์ เป็นเหตุให้โมเลกุลของยางธรรมชาติมีการเคลื่อนไหวໄດ້มากกว่าปกติและเกิดการบวนตัว ส่งผลให้เกิดปรากฏการณ์ส่งผ่านของสารออกซิไดซ์ซึ่งเป็นโมเลกุลเล็กๆเข้าทำปฏิกิริยาได้เพิ่มมากขึ้น ทำให้การแตกหักของสายโซ่โมเลกุลแบบสุ่มด้วยปฏิกิริยาออกซิเดชันของ  $\text{H}_2\text{O}_2$  กับยางธรรมชาติเกิดได้ง่ายกว่าแบบไม่มี  $\text{scCO}_2$  ทั้งนี้จะสังเกตได้ว่าน้ำหนักโมเลกุลของยางธรรมชาติที่ผ่านกระบวนการการออกซิเดชันตามขั้นตอนนี้ลดลงประมาณ 100 เท่าจากยางธรรมชาติเริ่มต้นซึ่งมีน้ำหนักโมเลกุลเฉลี่ยเชิงน้ำหนัก ( $\bar{M}_w$ ) เท่ากับ  $1.23 \times 10^6 \text{ g.mol}^{-1}$



รูปที่ 4.3 GPC โครโนโทแกรมแสดงการกระจายน้ำหนักโมเลกุลของยางธรรมชาติที่ 20 phr  $\text{H}_2\text{O}_2$  อุณหภูมิ  $80^\circ\text{C}$  ระยะเวลา 10 ชั่วโมง

#### 4.2.4 ผลของระยะเวลาต่อการลดน้ำหนักโนเมเลกุลของยางธรรมชาติ

จากผลการทดลองได้แสดงเปรียบผลของยางธรรมชาติที่ทำปฏิกิริยาออกซิเดชันกับ  $H_2O_2$  ปริมาณ 20 phr ที่อุณหภูมิ  $80^\circ C$  ระยะเวลาในการทำปฏิกิริยา 1, 2, 3, 5 และ 10 ชั่วโมง ภายใต้ สภาวะ  $scCO_2$  พบว่าเมื่อเพิ่มระยะเวลาในการทำปฏิกิริยามากขึ้น ส่งผลให้น้ำหนักโนเมเลกุลเฉลี่ยของ ยางธรรมชาตินี้แนวโน้มที่ลดลงตามรูปที่ 4.4 ซึ่งสอดคล้องกับงานวิจัยของปราณี และคณะ [12] ที่ได้ศึกษาการออกซิเดชันของยางธรรมชาติ และพบว่าการลดลงน้ำหนักโนเมเลกุล เฉลี่ยของยางธรรมชาติเป็นฟังก์ชันกับเวลาในการทำปฏิกิริยา ทั้งนี้ความสัมพันธ์ที่เกิดขึ้นดังกล่าว สามารถอธิบายได้ด้วยจลนพลศาสตร์ของการถลายโนเมเลกุลของยางธรรมชาติซึ่งได้อธิบายไว้ใน หัวข้อที่ 4.2.5



รูปที่ 4.4 ผลของน้ำหนักโนเมเลกุลเฉลี่ยของยางธรรมชาติ ( $\bar{M}_n$ ) ที่ผ่านการออกซิเดชันที่เวลาต่างๆ  
 (a) สภาวะมี  $scCO_2$  (b) สภาวะไม่มี  $scCO_2$

#### 4.2.5 จอนพลศาสตร์ของการสลายของโนเมเลกุลยางธรรมชาติ

จอนพลศาสตร์การสลายโนเมเลกุลของยางธรรมชาติ โดยศึกษาจากปฏิกิริยาออกซิเดชันของยางธรรมชาติด้วย  $H_2O_2$  และในสภาวะของ scCO<sub>2</sub> และไม่มี scCO<sub>2</sub> ที่ความเข้มข้นของ  $H_2O_2$  20 phr ที่เวลาและอุณหภูมิต่างๆ ทำการทดสอบน้ำหนักโนเมเลกุลเฉลี่ยด้วย GPC ได้ผลของน้ำหนักโนเมเลกุลเฉลี่ยเชิงจำนวน ( $\bar{M}_n$ ) มีแนวโน้มที่ลดลงจากยางธรรมชาติเริ่มต้นเมื่อเวลาของการทำปฏิกิริยาเพิ่มมากขึ้นซึ่งแสดงผลดังรูปที่ 4.4

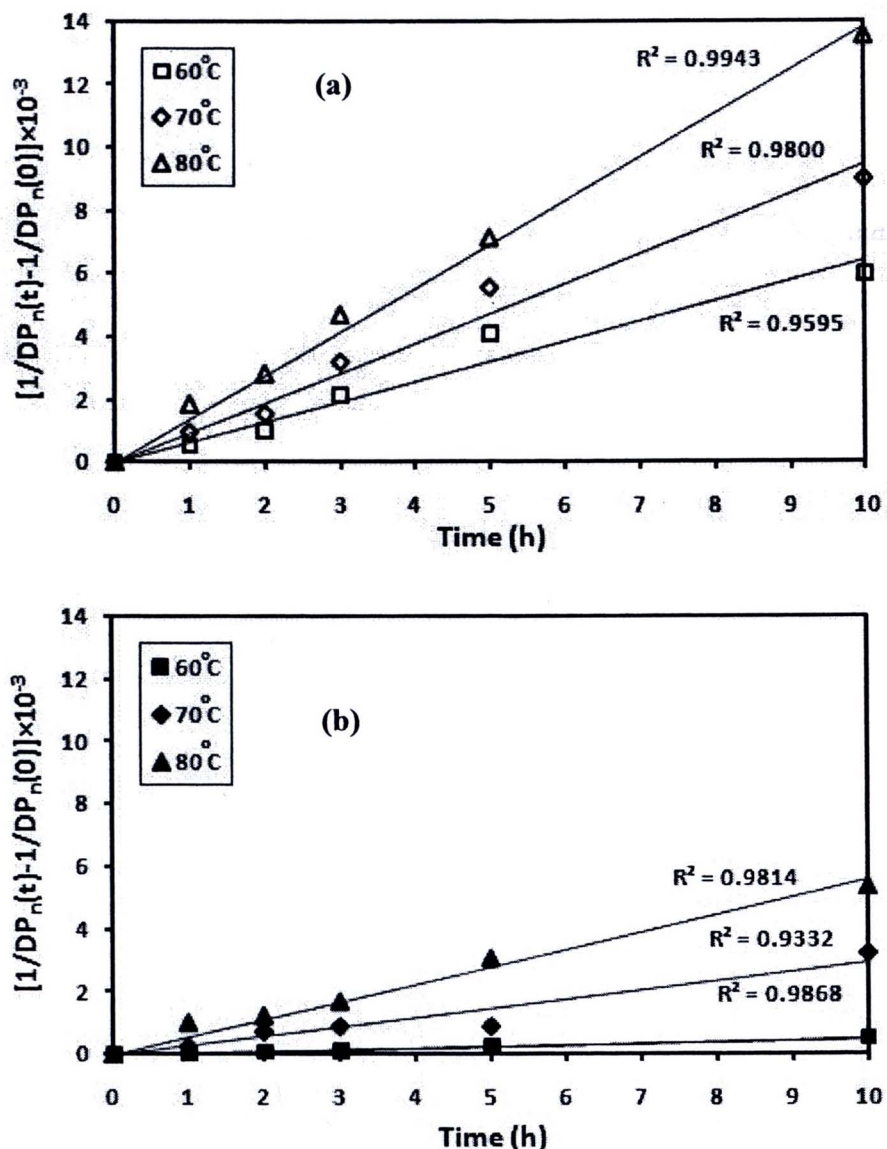
จากข้อมูลการวัดน้ำหนักโนเมเลกุลเฉลี่ยที่ลดลงนี้สามารถคำนวณของศาสรสลาย พอลิเมอร์ ( $DP_n$ ) ได้จากความสัมพันธ์ระหว่างน้ำหนักโนเมเลกุลเฉลี่ยเชิงจำนวนของยางธรรมชาติ ( $\bar{M}_n$ ) ต่อน้ำหนักโนเมเลกุลของหน่วยซัมมาร์ไซโพริน ( $M_{monomer} = 68 \text{ g.mol}^{-1}$ ) ดังสมการที่ 2.1 ซึ่ง อธิบายไว้ในบทที่ 2

$$DP_n = \frac{\bar{M}_n}{M_{monomer}} \quad (2.1)$$

$$\left( \frac{1}{DP_n(t)} - \frac{1}{DP_n(t_0)} \right) = kt \quad (2.3)$$

จากนั้นจึงคำนวณหาค่าคงที่อัตรา ( $k$ ) ของการสลายของยางธรรมชาติ ซึ่งแสดงได้ ด้วยความสัมพันธ์ของศาสรสลายพอลิเมอร์ที่เวลาเริ่มต้น ( $DP_n(t_0)$ ) และที่เวลาใดๆ ( $DP_n(t)$ ) เป็นฟังก์ชันของค่าคงที่อัตรา ( $k$ ) และเวลา ( $t$ ) ด้วยเทคนิคกฎอัตราสูตรปอยนิทิเกรต พบว่าปฏิกิริยา การสลายโนเมเลกุลของยางธรรมชาติ จากรากนี้วิจัยทดสอบด้วยกับปฏิกิริยาการสลายโนเมเลกุลอันดับสอง แสดงความสัมพันธ์ดังกล่าวดังสมการที่ 2.3 [7] ซึ่งยืนยันด้วยการพิสูจน์ความสัมพันธ์ระหว่าง  $1/DP_n(t)^{-1}/DP_n(t_0)$  เทียบกับเวลา ( $t$ ) จะได้เป็นกราฟเส้นตรงแสดงดังรูปที่ 4.5

จากผลการวิเคราะห์อาจกล่าวได้ว่าการทำปฏิกิริยาการสลายโนเมเลกุลยางธรรมชาติ แบบมี scCO<sub>2</sub> และไม่มี scCO<sub>2</sub> นั้นได้ผลลัพธ์เป็นปฏิกิริยาอันดับสองเช่นเดียวกัน ดังแสดงในรูปที่ 4.5(a) และ 4.5(b) ตามลำดับ โดยค่าคงที่อัตราที่ได้จากการชั้นของกราฟที่ได้ซึ่งแสดงผลดังตาราง ที่ 4.2 ซึ่งสมการจอนพลศาสตร์ปฏิกิริยาอันดับสองดังกล่าวสามารถใช้อธิบายปรากฏการณ์การลดลงของน้ำหนักโนเมเลกุล ที่เกิดขึ้นในกระบวนการออกซิเดชันระหว่างยางธรรมชาติกับไฮโดรเจน- เมอร์ออกไซด์ในสภาวะ scCO<sub>2</sub> ได้ทั้งสังเกตได้ว่าค่าคงที่อัตราในกรณีใช้ scCO<sub>2</sub> นั้นในแต่ละ อุณหภูมิค่าใกล้เคียงกัน และมากกว่ากรณีไม่มี scCO<sub>2</sub> ประมาณสิบเท่า แสดงให้เห็นอย่างชัดเจนว่า scCO<sub>2</sub> สามารถลดอุณหภูมิของปฏิกิริยาการลดน้ำหนักโนเมเลกุลของยางธรรมชาติได้ ในการทรงกัน ข้ามกรณีไม่ใช้ scCO<sub>2</sub> พบว่าหากต้องการลดน้ำหนักโนเมเลกุลยางให้ได้มากต้องการทำท่ออุณหภูมิที่ สูง อาจจะทำให้สมบัติของยางเปลี่ยนแปลงไปได้เนื่องจากการสลายด้วยความร้อนที่มากเกินไป



รูปที่ 4.5 จลนผลศาสตร์ของปฏิกิริยาการสลายของ NR อันดับสอง (a) ในสภาวะมี  $\text{scCO}_2$  (b) ในสภาวะไม่มี  $\text{scCO}_2$

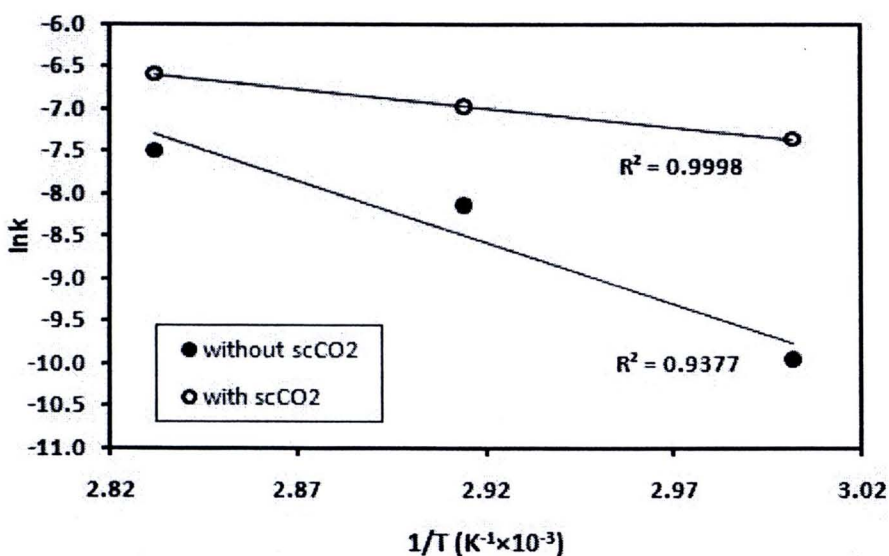
ตารางที่ 4.1 แสดงค่าคงที่อัตราของปฏิกิริยาการสลายโมเลกุลยางธรรมชาติอันดับสอง

อุณหภูมิ ( $^\circ\text{C}$ )	ค่าคงที่อัตรา ( $\text{min}^{-1}$ )	
	มี $\text{scCO}_2$	ไม่มี $\text{scCO}_2$
60	$1.07 \times 10^{-5}$	$8.00 \times 10^{-7}$
70	$1.57 \times 10^{-5}$	$4.90 \times 10^{-6}$
80	$2.30 \times 10^{-5}$	$9.30 \times 10^{-6}$

จากนั้นนำค่าคงที่อัตราที่ได้ไปใช้ในการคำนวณค่าพลังงานกระตุ้น ( $E_a$ ) ที่ใช้ในการสลายพันธะของยางธรรมชาติจากความสัมพันธ์ของอาร์รีเนียสแสดงดังสมการที่ 4.1

$$k = A e^{-E_a/RT} \quad (4.1)$$

จากการเพล็อกความสัมพันธ์ระหว่าง  $\ln(k)$  และ  $1/T$  ( $K^{-1}$ ) ทำให้สามารถหาค่าพลังงานกระตุ้น ( $E_a$ ) ได้จากความชันของกราฟ ดังรูปที่ 4.6 ในสภาวะไม่มี  $scCO_2$  และมี  $scCO_2$  ได้เท่ากับ 120.50 และ 37.55  $kJ mol^{-1}$  ตามลำดับ ทั้งนี้สังเกตได้ว่าปฏิกิริยาที่มี  $scCO_2$  ในระบบจะมีค่าพลังงานกระตุ้น ( $E_a$ ) น้อยกว่ากรณีไม่มี  $scCO_2$  ซึ่งแสดงให้เห็นว่า  $scCO_2$  นั้นมีส่วนช่วยทำให้ปฏิกิริยาการสลายของโมเลกุลยางธรรมชาติในงานวิจัยนี้ให้เกิดขึ้นได้ง่ายกว่าแบบไม่มี  $scCO_2$



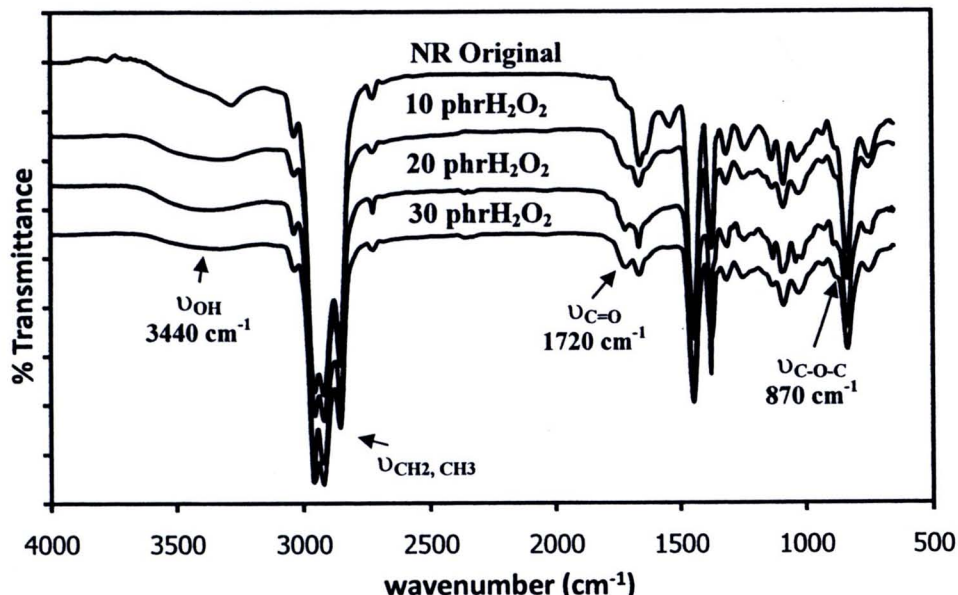
รูปที่ 4.6 ค่าคงที่อัตราจากสมการของอาร์รีเนียสภายใต้สภาวะมี  $scCO_2$  และไม่มี  $scCO_2$

### 4.3 ผลการวิเคราะห์ลักษณะโครงสร้างของยางธรรมชาติ (NR) และยางธรรมชาติที่ผ่านการออกซิเดชัน (LNR) ด้วย FT-IR

#### 4.3.1 ผลของความเข้มข้นของ $H_2O$ , ต่อหมู่ฟังก์ชันที่เกิดขึ้น

จากผลของ FT-IR เปรียบเทียบระหว่างของยางธรรมชาติเริ่มต้นและผ่านการทำปฏิกิริยาออกซิเดชันด้วย  $H_2O$ , ที่อุณหภูมิ 80 °C ในสภาวะ  $scCO_2$  และระยะเวลาในการทำปฏิกิริยา 5 ชั่วโมงแสดงดังรูปที่ 4.7 พบร่วมกับสัญญาณการคุณภาพเส้นที่ 3440 และ 870  $cm^{-1}$  ซึ่งเป็นสัญญาณของหมู่ฟังก์ชันไฮดรอกซิล (OH) และอิพอกไซด์ (C-O-C) ตามลำดับ [7] และมีการหายไปของสัญญาณหมู่พันธะคู่ ( $C=C$ ) ที่สัญญาณ 1660  $cm^{-1}$  ซึ่งสอดคล้องกับปฏิกิริยา อิพอกซิเดชันของ

กรดเปอร์ออกซิการ์บอนิกกับยางธรรมชาติ เกิดเป็นยางธรรมชาติที่มีหมู่อิพอกไซด์และหมู่ไฮดรอกซิลดังแสดงในรูปที่ 4.1 (สมการที่ 1)



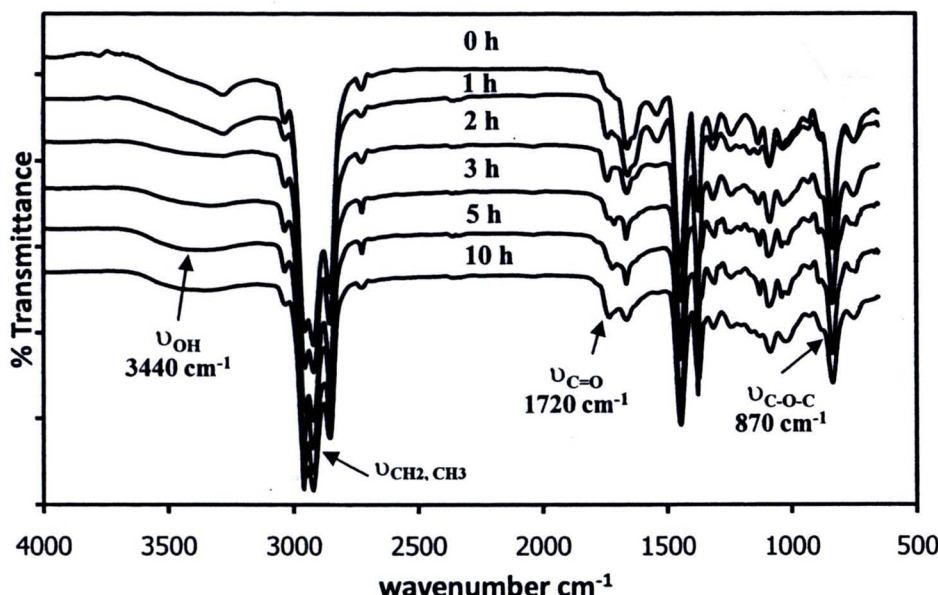
รูปที่ 4.7 ผลของความเข้มข้น  $\text{H}_2\text{O}_2$  ต่ออินฟารेकสเปกตรัมของยางธรรมชาติที่ผ่านการออกซิเดชันที่อุณหภูมิ  $80^\circ\text{C}$  ภายใต้สภาวะ  $\text{scCO}_2$

แต่อย่างไรก็ตามยังปรากฏมีสัญญาณที่  $1720 \text{ cm}^{-1}$  ซึ่งเป็นสัญญาณของหมู่ฟังก์ชันคาร์บอนิล ( $\text{C}=\text{O}$ ) ที่เป็นเช่นนี้เนื่องจากไฮโดรเจนเปอร์ออกไซด์สามารถทำหน้าที่เป็นทั้งสารย่อยสลายส่างผลให้เกิดการเปิดวงอิพอกไซด์ และการลดน้ำหนักโมเลกุลของยางธรรมชาติ ซึ่งทำให้เกิดเป็นหมู่ฟังก์ชันไฮดรอกซิลที่คำแห่งปลาย เป็นเหตุให้สามารถเกิดปฏิกิริยาออกซิเดชันเปลี่ยนเป็นหมู่ฟังก์ชันคาร์บอนิลได้ [3] ทั้งนี้จากอินฟารेकสเปกตรัมจะสังเกตได้ว่าปริมาณของหมู่ฟังก์ชันที่เกิดขึ้นมีปริมาณที่เพิ่มขึ้นสอดคล้องกับการเพิ่มปริมาณของ  $\text{H}_2\text{O}_2$  จาก 10 เป็น 20 phr แต่อย่างไรก็ตามเมื่อปริมาณของ  $\text{H}_2\text{O}_2$  เพิ่มขึ้นเป็น 30 phr จะปรากฏสัญญาณของหมู่ไฮดรอกซิลในปริมาณที่น้อยลง ทั้งนี้เนื่องมาจากการเกิดเรศิคอลจากปฏิกิริยาออกซิเดชันที่มากเกินไปจึงส่งผลให้ยางธรรมชาติกลับมารวมตัวกันได้ใหม่ดังได้อธิบายไว้ในหัวข้อ 4.2.1

#### 4.3.2 ผลของระยะเวลาต่อหมู่ฟังก์ชันที่เกิดขึ้น

จากการศึกษาอินฟารेकสเปกตรัมของยางธรรมชาติที่ผ่านการออกซิเดชันที่อุณหภูมิ  $80^\circ\text{C}$  ที่เวลาต่างๆ ดังรูปที่ 4.8 พบร่วมกับการปรากฏของสัญญาณที่ชัดเจนของหมู่ไฮดรอกซิล คาร์บอนิล และอิพอกไซด์ ที่คำแห่งเลขคู่ 3440, 1720 และ  $870 \text{ cm}^{-1}$  ตามลำดับ และมีปริมาณที่เพิ่มมากขึ้นตามระยะเวลาที่เพิ่มขึ้น แสดงถึงการเกิดปฏิกิริยาออกซิเดชันนั้นแปรผันตรงกับ

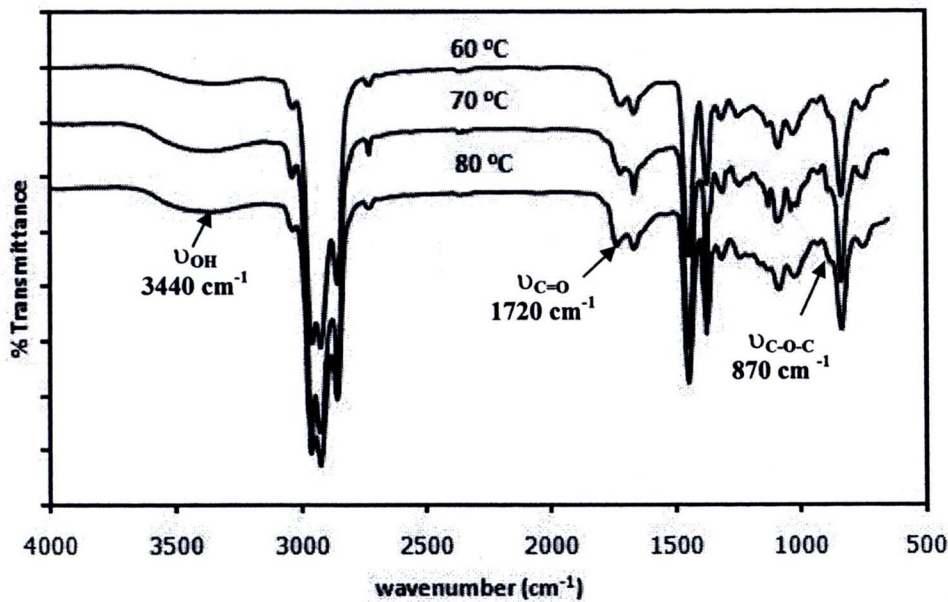
ระยะเวลาในการทำปฏิกิริยา ซึ่งส่งผลให้น้ำหนักโมเลกุลเฉลี่ยของยางธรรมชาติมีแนวโน้มที่ลดลงตาม ซึ่งสอดคล้องกับการอธิบายไว้ในหัวข้อที่ 4.2.4



รูปที่ 4.8 ผลของระยะเวลาต่อสเปกตรัมอินฟารेडยางธรรมชาติที่อุณหภูมิ  $80^{\circ}\text{C}$  ในสภาพ scCO<sub>2</sub>

### 4.3.3 ผลของอุณหภูมิต่อหมู่ฟังก์ชันที่เกิดขึ้น

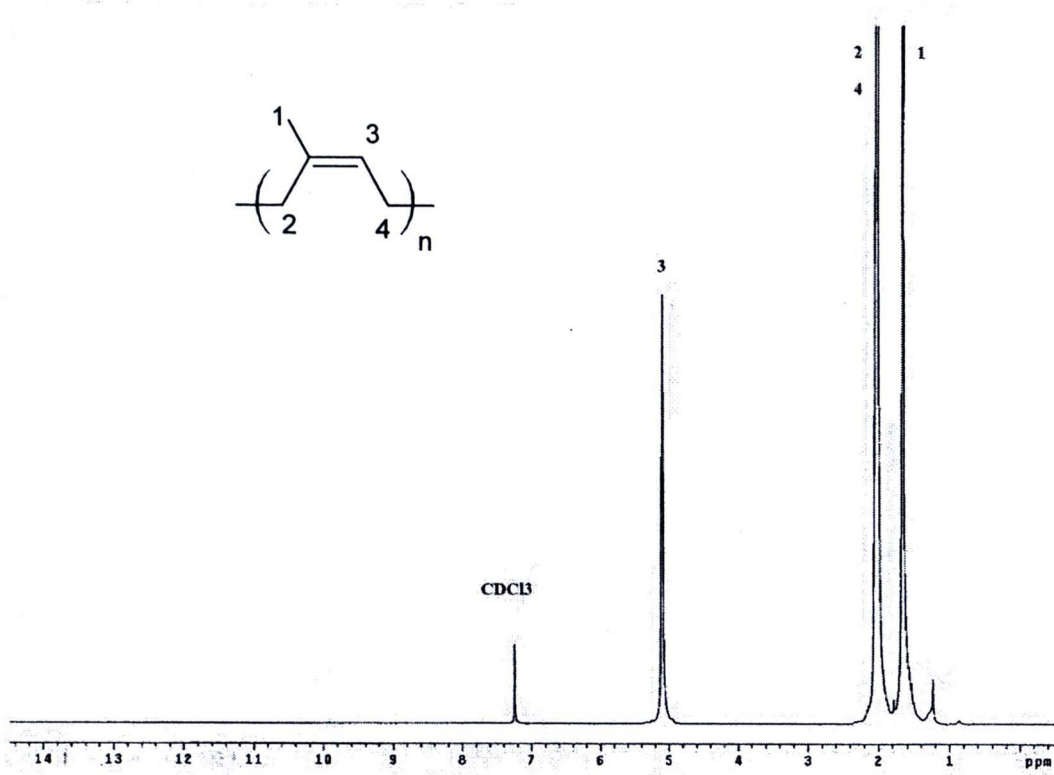
จากผลของอินฟารेडสเปกตรัมเมื่อสังเกตการปรับเปลี่ยนอุณหภูมิที่ส่งผลต่อปริมาณของหมู่ฟังก์ชันที่เกิดขึ้นดังรูปที่ 4.9 พบว่ามีการปรากฏของสัญญาณที่ชัดเจนของหมู่ไฮดรอกซิล คาร์บอนิล และอิพอกไซด์ ที่ตำแหน่งเลขคู่ 3440, 1720 และ 870 cm<sup>-1</sup> ตามลำดับ และมีปริมาณที่เพิ่มขึ้นเมื่ออุณหภูมิในการทำปฏิกิริยาสูงขึ้นซึ่งสอดคล้องกับการเพิ่มขึ้นของปริมาณหมู่ อิพอกไซด์ซึ่งได้จากการคำนวณด้วยเทคนิค <sup>1</sup>H-NMR แสดงดังตารางที่ 4.2 ที่เป็นเช่นนี้ เพราะว่าเมื่ออุณหภูมิสูงขึ้นส่งผลให้อัตราการเกิดปฏิกิริยาระหว่างสารออกซิไดซ์และยางธรรมชาติเพิ่มมากขึ้น สอดคล้องกับค่าคงที่อัตราที่การเพิ่มขึ้นดังตารางที่ 4.1 และยังเป็นผลจากที่อุณหภูมิสูงจะทำให้อัตราการแพร่ของ scCO<sub>2</sub> เข้าไปในวัสดุภาคของสารละลายยางธรรมชาติและวัสดุภาคของสารละลายไฮดรอกซิล ออกไซด์ และเกิดปฏิกิริยาเป็นกรด佩อร์ออกซิคาร์บอนิกเข้าทำปฏิกิริยากับยางธรรมชาติเกิดได้มาก เป็นเหตุให้ปฏิกิริยาสลายโมเลกุลของยางธรรมชาติเกิดได้มากขึ้นดัง อธิบายไว้ในข้อที่ 4.2.2



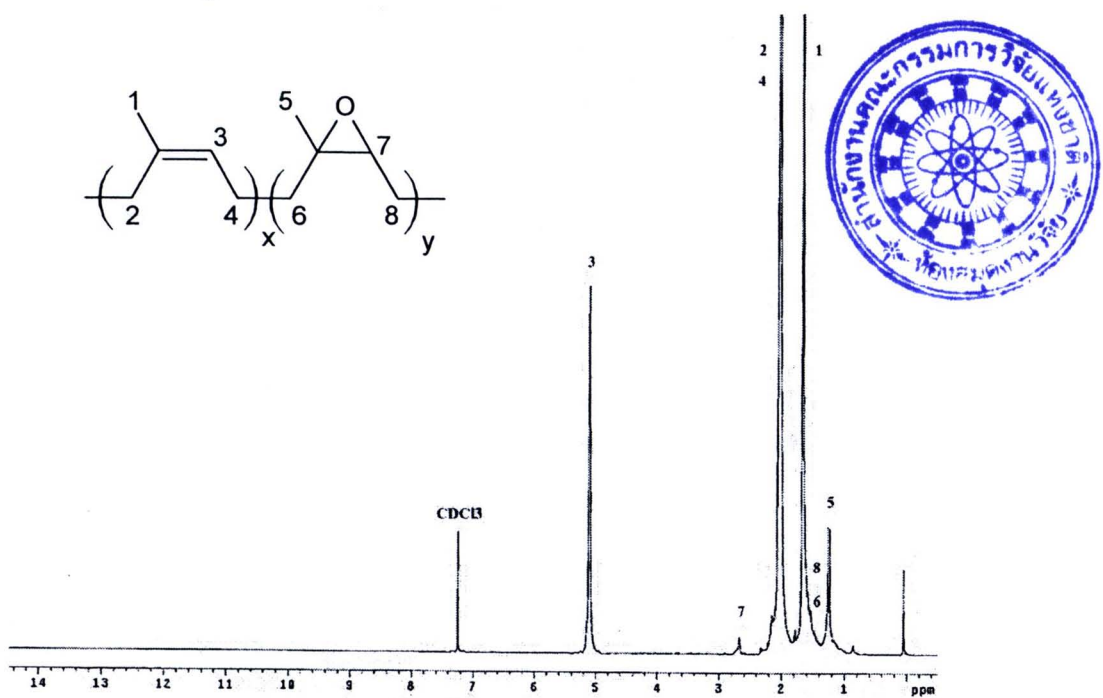
รูปที่ 4.9 ผลของอุณหภูมิต่อสเปกตรัมอินฟารेकซิเจนของยางธรรมชาติที่อุณหภูมิ  $80^{\circ}\text{C}$  ในสภาวะ  $\text{scCO}_2$

#### 4.4 ผลการวิเคราะห์ลักษณะโครงสร้างของยางธรรมชาติ (NR) และยางธรรมชาติที่ผ่านการออกซิเดชัน (LNR) ด้วย $^1\text{H-NMR}$

จากผลวิเคราะห์ด้วย  $^1\text{H-NMR}$  สเปกตรัมเบรียบเทียบระหว่างยางธรรมชาติเริ่มต้นซึ่งแสดงในรูปที่ 4.10 และยางธรรมชาติที่ผ่านการทำปฏิกิริยาออกซิเดชันภายใต้สภาวะ  $\text{scCO}_2$  และความเข้มข้นของ  $\text{H}_2\text{O}_2$  20 phr อุณหภูมิ  $80^{\circ}\text{C}$  ระยะเวลาในการทำปฏิกิริยา 10 ชั่วโมง ดังรูปที่ 4.11 ซึ่งจะเห็นการปรากฏอย่างชัดเจนของพีก 5.10 และ 2.70 ซึ่งแสดงถึงโปรตอนพันธะคู่ในโครงสร้างของ *cis*-1,4-polyisoprene และสัญญาณเมทิน (Methine) โปรตอนที่ตำแหน่งติดกับวงอิพอกไซด์ ตามลำดับ และสัญญาณของหมู่เมทธิลและเมทธิลีนที่ตำแหน่งติดกับวงอิพอกไซด์สังเกตจากสัญญาณที่ 1.26 และ 2.16 ตามลำดับ และที่ตำแหน่ง 1.67 และ 2.09 แสดงสัญญาณของเมทธิลและเมทธิลีน โปรตอนที่ติดกับคาร์บอนพันธะคู่ ( $\text{C}=\text{C}$ ) นอกจากนี้ยังจะปรากฏการเพิ่มขึ้นของสัญญาณ chemical shift ปริมาณน้อยที่ 2.13 และ 1.20 แสดงถึงการเพิ่มขึ้นของสัญญาณ  $\text{CH}_2$  ในตำแหน่งติดกับหมู่ฟังก์ชัน คิโตน และ ออกซิออกซิทุติกูน ตามลำดับ และมีการปรากฏของสัญญาณ  $\text{CH}_2$  ในตำแหน่ง  $\beta$  และ  $\alpha$  ของหมู่คิราโนนิลที่ตำแหน่งปลายที่สัญญาณตั้งแต่ 2.20 - 2.60 ppm แต่อย่างไรก็ตามเนื่องจากปฏิกิริยาระหว่าง  $\text{H}_2\text{O}_2$  และ  $\text{scCO}_2$  นั้นเกิดเป็นกรดเปอร์ออกซิคิราโนนิก ซึ่งเข้าทำปฏิกิริยากับยางธรรมชาติได้ผลิตภัณฑ์เป็นสารประกอบอิพอกไซด์และไกลคอลเป็นหลักดังนั้น ด้วยเหตุนี้จึงสามารถอธิบายโครงสร้างของสารตั้งกล่าวได้ดังรูปที่ 4.11 และสามารถวิเคราะห์ปริมาณหมู่อิพอกไซด์โดยการเบรียบเทียบอินทิเกรทพื้นที่ได้พีกของสัญญาณที่ 2.70 ppm และ 5.12 ppm ดังได้อธิบายวิธีคำนวณไว้ในภาคผนวก ง โดยพบว่าที่อุณหภูมิ  $70^{\circ}\text{C}$  และ  $80^{\circ}\text{C}$  มีปริมาณหมู่อิพอกไซด์เท่ากับ 0.99 และ 5.66 % ตามลำดับซึ่งแสดงค่าดังตารางที่ 4.2



รูปที่ 4.10  $^1\text{H-NMR}$  สเปกตรัมของยางธรรมชาติ



รูปที่ 4.11  $^1\text{H-NMR}$  สเปกตรัมของยางธรรมชาติที่อุณหภูมิ  $80^\circ\text{C}$  ภายใต้สภาวะ  $\text{scCO}_2$

ตารางที่ 4.2 แสดงปริมาณหมู่อิพอกไซด์ซึ่งได้จากปฏิกริยาการออกซิเดชันที่อุณหภูมิต่างๆ

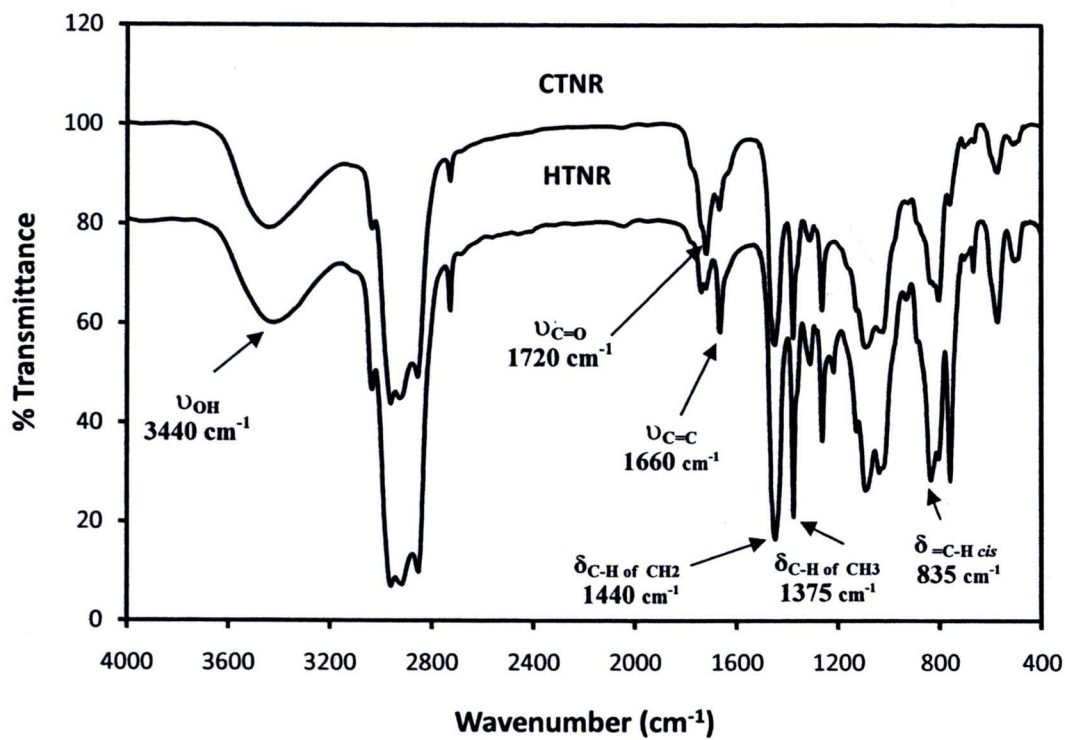
อุณหภูมิ ( $^{\circ}\text{C}$ )	Epoxide content (%)	$M_w \times 10^3 \text{ g.mol}^{-1}$	$M_n \times 10^3 \text{ g.mol}^{-1}$
60	Null	20.225	10.920
70	0.99	16.522	7.376
80	5.66	10.505	4.946

Null ไม่สามารถวิเคราะห์ได้ด้วยเทคนิค  $^1\text{H-NMR}$

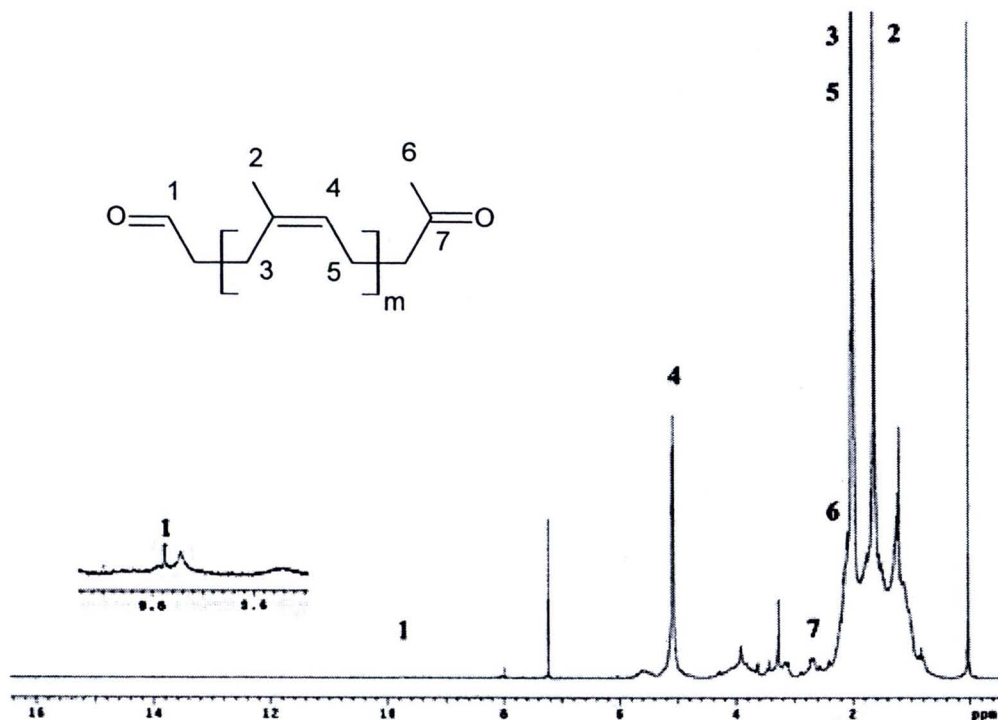
## ตอนที่ 2 การสลายโมเลกุลของยางธรรมชาติเหลวภายใต้ระบบตัวทำละลายอินทรีย์

### 4.5 ผลการเตรียมยางธรรมชาติเหลวที่มีหมู่ฟังก์ชันคาร์บอนิลตำแหน่งปลาย (CTNR)

เนื่องจากยางธรรมชาติที่ผ่านการออกซิเดชันด้วยไฮโดรเจนเปอร์ออกไซด์ในสภาวะของกรับน้ำไฮโดรเจนอิโวิกตันน้ำ ส่งผลให้ยางธรรมชาติมีน้ำหนักโมเลกุลที่ลดลงและเกิดเป็นหมู่ฟังก์ชันที่สำคัญคืออิพอกไซด์เป็นส่วนใหญ่ โดยจากการคำนวณพบว่ายางธรรมชาติที่ผ่านการออกซิเดชันน้ำหนักโมเลกุลที่มีปริมาณของหมู่ฟังก์ชันอิพอกไซด์อยู่ 5.66 % ซึ่งหมู่อิพอกไซด์นี้สามารถเกิดปฏิกริยาริดักชันด้วยกรดเปอร์ไอโอดิก ( $\text{H}_3\text{IO}_6$ ) เกิดเป็นยางธรรมชาติเหลวที่มีหมู่ฟังก์ชันคาร์บอนิลที่ปลาย (CTNR) ได้ [2] ซึ่งจากการทดสอบโดยการนำ LNR ที่ได้ไปละลายด้วยtetrahydrofuran (THF) และจากนั้นทำการทดสอบโดยการนำ LNR ที่ได้ไปละลายด้วยtetrahydrofuran โดยปฏิกริยาระบำที่อุณหภูมิ  $30^{\circ}\text{C}$  เป็นระยะเวลา 6 ชั่วโมงพบว่าหลังจากนำ LNR มาผ่านการริดักชันด้วยกรดเปอร์ไอโอดิกจะได้ CTNR ซึ่งแสดงสมการปฏิกริยาทางเคมีดังรูปที่ 3.4 ซึ่งสามารถยืนยันได้จากการทดสอบด้วย FT-IR จากการหาไปของหมู่อิพอกไซด์ที่สัญญาณ  $870 \text{ cm}^{-1}$  และการเพิ่มขึ้นของสัญญาณหมู่คาร์บอนิลที่  $1720 \text{ cm}^{-1}$  ดังแสดงในรูปที่ 4.12 ซึ่งแสดงคล้องกับสัญญาณจากการตรวจวัดด้วยเทคนิค  $^1\text{H-NMR}$  ดังรูปที่ 4.13 แสดงให้เห็นถึงการหายไปของสัญญาณที่  $2.70 \text{ ppm}$  ซึ่งหมายถึงสัญญาณของหมู่อิพอกไซด์และมีการเกิดขึ้นของอัลดีไฮด์ในปรตอนที่สัมภានที่  $9.80 \text{ ppm}$  และมีการปรากฏของสัญญาณ  $\text{CH}_2$  ในตำแหน่ง  $\beta$  และ  $\alpha$  ของหมู่คาร์บอนิลที่ตำแหน่งปลายที่สัญญาณตั้งแต่  $2.20 - 2.60 \text{ ppm}$  นอกจากนี้ได้ปรากฏพิกของเมทิลีนในปรตอน ( $\text{CH}_2$ ) ที่หมู่คิโนนที่ตำแหน่งปลายที่สัญญาณ  $2.13 \text{ ppm}$  นอกจากนี้พบว่าผลการวัดน้ำหนักโมเลกุลเฉลี่ยและการกระจายแบบผสมพบว่า CTNR ที่เตรียมได้น้ำหนักโมเลกุลเฉลี่ยเท่ากับ  $M_w = 7,670 \text{ g.mol}^{-1}$  และ  $M_n = 1,999 \text{ g.mol}^{-1}$  มีค่าการกระจายแบบผสม PDI เท่ากับ 3.84 แต่อย่างไรก็ตาม CTNR ที่สังเคราะห์ได้น้ำหนักไม่สามารถนำไปใช้ในการเตรียมพอลียูเรเทนอิลาสติเมอร์ได้ ด้วยเหตุนี้จึงต้องนำรีดิวเวิร์คิวส์อีกครั้งเพื่อทำการเปลี่ยนหมู่คาร์บอนิลให้เป็นหมู่ไฮดรอกซิลซึ่งจะอธิบายในหัวข้อต่อไป



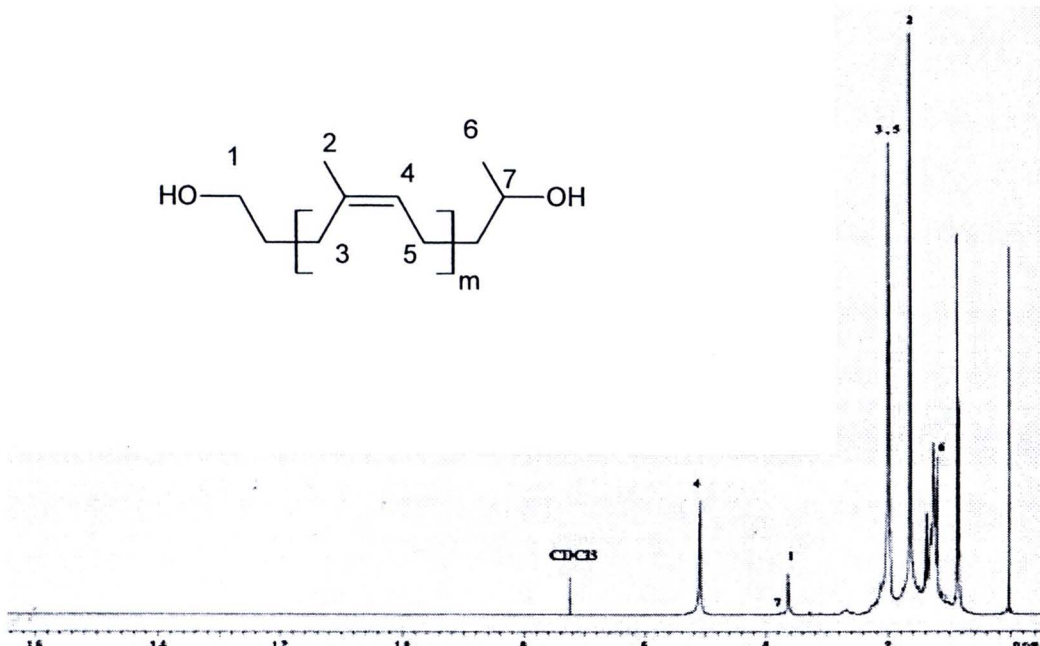
รูปที่ 4.12 เปรียบเทียบ FT-IR สเปกตรัมของ CTNR และ HTNR



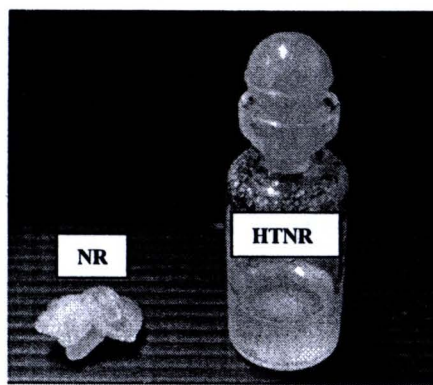
รูปที่ 4.13 <sup>1</sup>H-NMR สเปกตรัมของ CTNR

#### 4.6 ผลการเตรียมยางธรรมชาติเหลวที่มีหมู่ไออกซิลคำแหงปลาย (HTNR)

จากผลการทดลองปฏิกิริยาเรตักชันของยาง CTNR กับโซเดียมบอร์ไฮไดร์ด ( $\text{NaBH}_4$ ) ที่มากเกินพอได้เป็นยางธรรมชาติ HTNR ซึ่งมีหมู่ไออกซิลที่ปลายของโมเลกุลยางธรรมชาติ ซึ่งจากผลการทดสอบด้วยเทคนิค FT-IR ดังรูปที่ 4.12 แสดงให้เห็นถึงการหายไปของสัญญาณที่  $1720 \text{ cm}^{-1}$  และการเพิ่มขึ้นของสัญญาณที่  $3340 \text{ cm}^{-1}$  และแสดงถึงหมู่ฟังก์ชันคาร์บอนิลและไออกซิลตามลำดับ ซึ่งสอดคล้องกับผลจากการทดสอบด้วยเทคนิค  $^1\text{H-NMR}$  ดังรูปที่ 4.14 ซึ่งแสดงให้เห็นถึงเอทิลีนโปรตอนที่ตำแหน่ง 5.12 ppm ซึ่งเป็นสัญญาณของพอลีไอโซพրีน และมีการหายไปของทั้งพิกเมนต์ของอัลดีไฮด์โปรตอนที่ 9.80 ppm และเมทิลีนโปรตอน ( $\text{CH}_2$ ) ของหมู่คิโตนคำแหงปลายที่ 2.13 ppm เช่นเดียวกันกับสัญญาณของ  $\text{CH}_2$  ใน  $\beta$  และ  $\alpha$  ที่ตำแหน่งพิคตั้งแต่ 2.20 - 2.60 ppm ซึ่งหมายถึงสัญญาณของหมู่คาร์บอนิลที่คำแหงปลายและมีการปรากฏขึ้นของพิกของเมทิลโปรตอน ( $\text{CH}_3$ ) ไกล์กับแอลกออลทุติกูมิ (Secondary alcohol) ที่ 1.20 ppm ที่สำคัญมีการปรากฏของสองพิกที่สอดคล้องกับเมทิลโปรตอน ( $\text{CH}$ ) ที่ 3.8 ppm และเมทิลีนโปรตอน ( $\text{CH}_2$ ) ที่ 3.68 ppm ซึ่งเป็นตำแหน่งที่ไกล์กับหมู่ไออกซิลที่ตำแหน่งปลาย นอกจากนี้จากการทดสอบด้วยเทคนิค GPC พบว่ายางธรรมชาติ HTNR ที่เตรียมได้จากงานวิจัยนี้มีน้ำหนักโมเลกุลเฉลี่ยเท่ากับ  $\bar{M}_n = 1,069 \text{ g.mol}^{-1}$  และ  $\bar{M}_w = 3,951 \text{ g.mol}^{-1}$  และค่าการกระจายแบบผสม (PDI) เท่ากับ 3.69 และจากการทดสอบหาค่า OH number พบร่วมค่าประมาณ 60.23 mgKOH/g และมีค่าฟังชันແນลิติ์เฉลี่ย ( $\bar{f}_n$ ) ประมาณ 2 และมีสีที่ค่อนข้างเหลืองอ่อนดังรูปที่ 4.15 ซึ่งสารนี้สามารถนำไปใช้ในการเตรียมพอลีไซร์เจนอิเลสโตเมอร์ได้ในขั้นตอนต่อไป



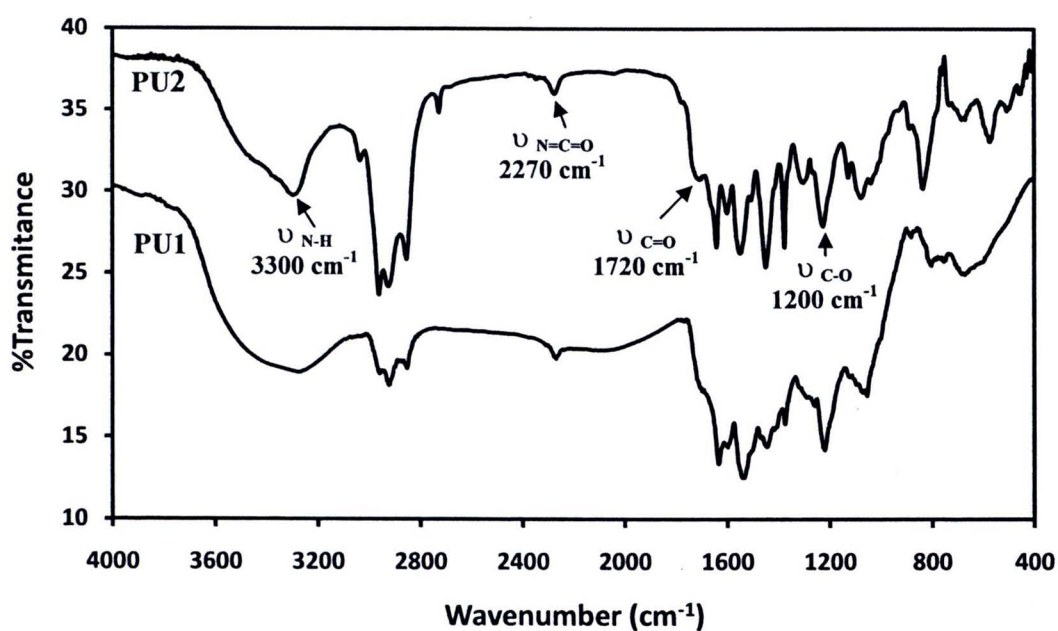
รูปที่ 4.14  $^1\text{H-NMR}$  สเปกตรัมของ HTNR



รูปที่ 4.15 ลักษณะทางกายภาพของยางธรรมชาติ (NR) และ HTNR

### ตอนที่ 3 การเตรียมพอลียูเรเทนอิเลสโตรเมอร์

จากการทดลองศึกษาการเตรียมพอลียูเรเทนอิเลสโตรเมอร์ ผ่านการทำปฏิกิริยาการเกิดพอลีเมอร์ (Polymerization) ของ HTNR และ TDI ด้วยเทคนิค one-shot method โดยใช้ DBTL เป็นตัวเร่งปฏิกิริยา ซึ่งให้อัตราส่วนของ  $[NCO] : [OH] = 1.2$  และ  $[DBTL] : [OH] = 0.045$  [2] โดยตัวอย่างที่ได้นำไปวิเคราะห์หมุนฟังก์ชันที่เกิดขึ้นด้วยเทคนิค FT-IR นอกจากนี้ยังได้ศึกษาเกี่ยวกับสมบัติเชิงความร้อนของพอลียูเรเทนที่เตรียมได้ด้วยเทคนิค TGA ซึ่งขอ匕ายได้ดังต่อไปนี้



รูปที่ 4.16 FT-IR สเปกตรัมของ PU1 และ PU2

#### 4.7 ผลการวิเคราะห์หมู่ฟังก์ชันของพอลียูรีเทนอิลาสติเมอร์ด้วยเทคนิค FT-IR

จากรูปที่ 4.16 แสดง FT-IR สเปกตรัมของ PU1 และ PU2 ซึ่งแสดงการคุณภาพลักษณะของสัญญาณที่  $3300 \text{ cm}^{-1}$  และ  $1700 \text{ cm}^{-1}$  ซึ่งสอดคล้องกับหมู่ฟังก์ชัน N-H และ C=O stretching ของยูรีเทนฟังก์ชันตามลำดับ นอกจากนี้ยังมีการปรากฏของพิก 1200  $\text{cm}^{-1}$  ซึ่งสอดคล้องกับหมู่ฟังก์ชัน -C-O stretching และมีการปรากฏของเลขลักษณะที่  $2270 \text{ cm}^{-1}$  ซึ่งแสดงถึงปฏิกิริยาการเตรียมพอลียูรีเทนเกิดได้ไม่สมบูรณ์ทำให้มีการปรากฏเล็กน้อยของหมู่ฟังก์ชันไไซยาเนต  $\text{N}=\text{C}=\text{O}$  จากโมเลกุลของโกลูอินไดไอโซไไซยาเนต

#### 4.8 การทดสอบสมบัติเชิงความร้อนด้วยเทคนิค TGA

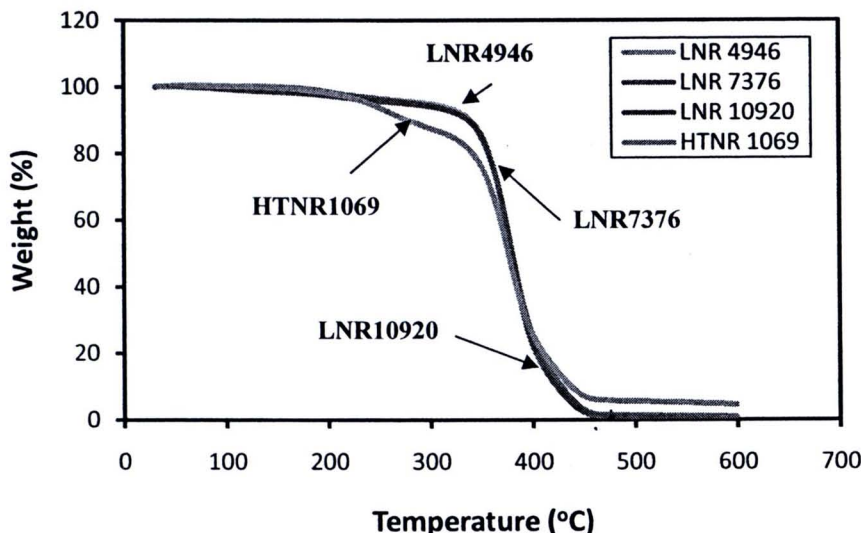
การวิเคราะห์เสถียรภาพทางความร้อนของโอลิโกเมอร์ซึ่งมีน้ำหนักโมเลกุลและโครงสร้างต่างกันด้วยเทคนิค TGA ดังรูปที่ 4.17 ซึ่งทำการวิเคราะห์ภายใต้สภาวะของไนโตรเจนและอัตราการให้ความร้อนที่  $10 \text{ }^{\circ}\text{C min}^{-1}$  จากอุณหภูมิห้องถึง  $600 \text{ }^{\circ}\text{C}$  ทั้งนี้จากผลของ TGA เทอร์โมแกรมจะสามารถแสดงการสลายตัวในแต่ละขั้นของโอลิโกเมอร์ทุกด้วยอย่างสรุปได้ดังตารางที่ 4.3 โดยที่อุณหภูมิสลายตัวสูงสุด ( $T_{max}$ ) จะแสดงถึงอัตราการสลายตัวสูงสุดสัมพันธ์กับ weight loss (%) พบว่ายางธรรมชาติที่ผ่านการออกซิเดชันด้วย  $\text{H}_2\text{O}_2$  ในสภาวะ scCO<sub>2</sub> ได้เป็นยางธรรมชาติเหลวที่มีโครงสร้างใกล้เคียงกันแต่น้ำหนักโมเลกุลแตกต่างกัน ซึ่งพบว่ามีสมบัติการสลายตัวเชิงความร้อนที่ใกล้เคียงกัน สามารถแบ่งเป็นสองขั้นตอน ซึ่งในขั้นตอนแรกเป็นการสลายตัวของหมู่อิพอกไซด์ที่อุณหภูมิประมาณ  $204 - 219 \text{ }^{\circ}\text{C}$  และขั้นที่สองเป็นการสลายตัวของพอลีไอโซพรีนในสายไฟหลักของยางธรรมชาติที่อุณหภูมิประมาณ  $377-378 \text{ }^{\circ}\text{C}$  ซึ่งใกล้เคียงกับยางธรรมชาติโดยทั่วไปที่มีอุณหภูมิในการสลายตัวสมบูรณ์อยู่ที่  $381 \text{ }^{\circ}\text{C}$  ซึ่งอาจกล่าวได้ว่าน้ำหนักโมเลกุลของยางธรรมชาติเหลวที่มีลักษณะโครงสร้างใกล้เคียงกันไม่มีผลต่อการสลายตัวเชิงความร้อน

นอกจากการสลายตัวเชิงความร้อนของยางธรรมชาติเหลวที่มีหมู่ฟังก์ชันที่ตัวแทนง่าย (HTNR 1039) พบว่ามีการสลายตัวสองขั้นตอน เช่นเดียวกันซึ่งในตอนแรกเป็นการสลายตัวของหมู่อิพอกไซด์ที่อุณหภูมิประมาณ  $240 \text{ }^{\circ}\text{C}$  อาจเนื่องมาจากมีหมู่อิพอกไซด์เหลืออยู่จากปฏิกิริยาในขั้นตอนการเตรียม CTNR บวกกับปริมาณของหมู่ไฮดรอกซิลที่เพิ่มขึ้นจากปฏิกิริยาดักชันเกิดพันธะไฮโดรเจนระหว่างโมเลกุลขึ้น จึงส่งผลให้ขั้นตอนนี้มีอุณหภูมิในการสลายตัวเพิ่มขึ้นมากกว่า LNR และในขั้นตอนมาเป็นการสลายของพอลีไอโซพรีนโดยหลักที่อุณหภูมิสลายตัวสูงสุดประมาณ  $379 \text{ }^{\circ}\text{C}$  แสดงว่ายางธรรมชาติเหลวที่ผ่านปฏิกิริยาดักชันส่งผลให้มีการลดลงของพันธะคู่ ( $\text{C}=\text{C}$ ) ซึ่งเกิดเป็นหมู่ไฮดรอกซิลที่ตัวแทนง่ายในปริมาณที่เพิ่มขึ้น จึงส่งผลให้มีเสถียรภาพเชิงความร้อนมากกว่ายางธรรมชาติเหลวที่ไม่ผ่านปฏิกิริยาดักชัน

ตารางที่ 4.3 แสดงสมบัติเชิงความร้อนจากการวิเคราะห์ด้วย TGA ของยางธรรมชาติและ HTNR

Sample	Thermal degradation steps			
	1 <sup>st</sup> step		2 <sup>nd</sup> step	
	$T_{max}$ (°C)	Weight loss (%)	$T_{max}$ (°C)	Weight loss (%)
NR*	N/A	N/A	381	99
LNR 4946	204.0	4.08	378.8	95.38
LNR 7376	204.5	4.50	378.1	94.76
LNR 10920	219.7	5.10	377.8	94.73
HTNR 1069	240.0	13.447	379.0	85.856

NR\* Anuwat และคณะ [4]



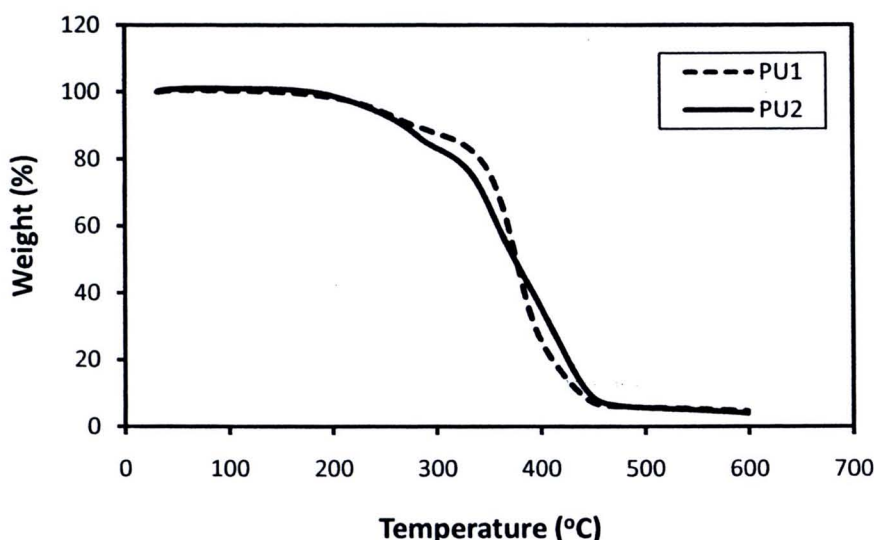
รูปที่ 4.17 TGA เทอร์โมแกรมของยางธรรมชาติเหลว (LNR) และ HTNR

ในการศึกษาเสถียรภาพเชิงความร้อนของพอลียูรีเทนอีลาส โトイเมอร์ที่เตรียมจาก LNR4946 และ HTNR1069 จากผลของ TGA เทอร์โมแกรมดังรูปที่ 4.18 พบว่าทุกตัวอย่างมีการสลายตัวเป็นสองขั้นตอน โดยขั้นแรกเป็นการสลายตัวของพันธะยูรีเทนที่อุณหภูมิประมาณ 260 °C ตามงานวิจัยของ Kebir และคณะ[2] ในขั้นตอนนี้พบว่า PU2 ซึ่งเตรียมจาก HTNR นั้นมีอุณหภูมิการสลายตัวสูงสุด ( $T_{max}$ ) เท่ากับ 282.7 °C ซึ่งมากกว่า PU1 ที่มีอุณหภูมิ  $T_{max}$  เท่ากับ 262.1 °C และให้เห็นว่า PU2 นั้นมีเสถียรภาพเชิงความร้อนที่มากกว่า PU1 ด้วยเหตุผลที่ว่า PU2 เกิดจาก HTNR ที่มีปริมาณหมู่ฟังก์ชันไฮดรอกซิล (OH number) ซึ่งเกิดปฏิกิริยา กับ TDI ทำให้เกิดพันธะยูรีเทนและพันธะไไซโโครเจนที่ได้มากกว่า สอดคล้องกับปริมาณ % weight loss ดังตารางที่ 4.4 และในขั้นตอนมา

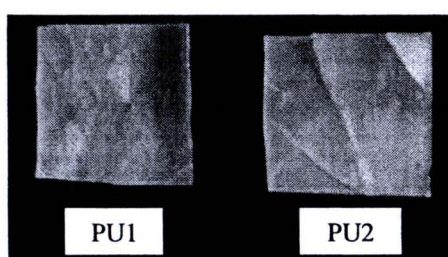
เป็นการสลายของโครงสร้างยางธรรมชาติเหลวและพอลีไอโซพรีนในโนมเลกุลซึ่งพบว่าทั้ง PU1 และ PU2 นั้นมีอุณหภูมิสลายตัวสูงสุดที่ใกล้เคียงกันที่ประมาณ 376.7 และ 372.0 °C ตามลำดับ และจากลักษณะทางกายภาพของ PU1 และ PU2 แสดงได้ดังรูปที่ 4.19

ตารางที่ 4.4 แสดงสมบัติเชิงความร้อนจากการวิเคราะห์ด้วย TGA ของพอลียูรีเทนอิลาสโตเมอร์

Sample	Thermal degradation steps			
	1 <sup>st</sup> step		2 <sup>nd</sup> step	
	$T_{max}$ (°C)	Weight loss (%)	$T_{max}$ (°C)	Weight loss (%)
PU1	262.1	12.31	376.7	83.03
PU2	282.7	17.53	372.0	78.81



รูปที่ 4.18 TGA เทอร์โมแกรมของพอลียูรีเทนอิลาสโตเมอร์ PU1 และ PU2



รูปที่ 4.19 ลักษณะทางกายภาพของ PU1 และ PU2